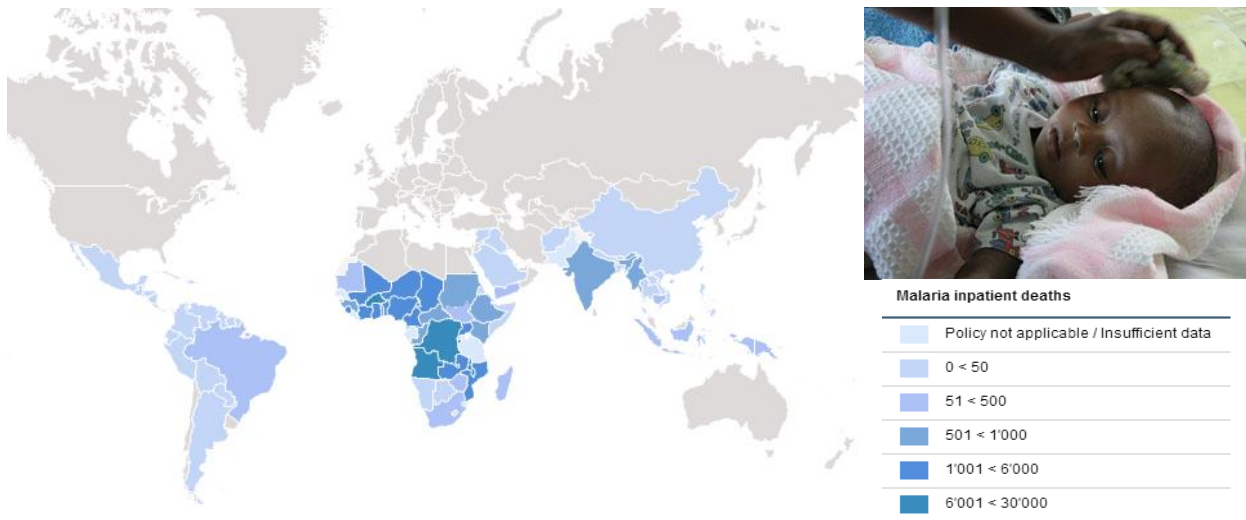
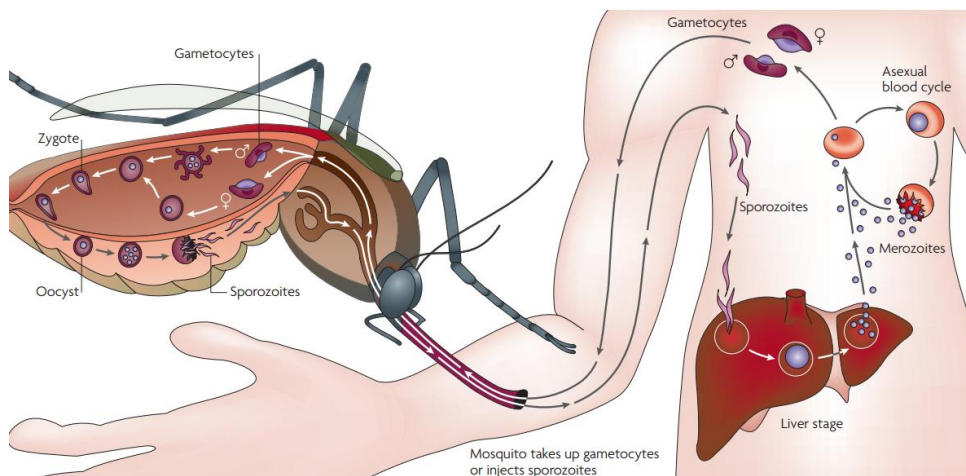


Bijlage journalistiek artikel

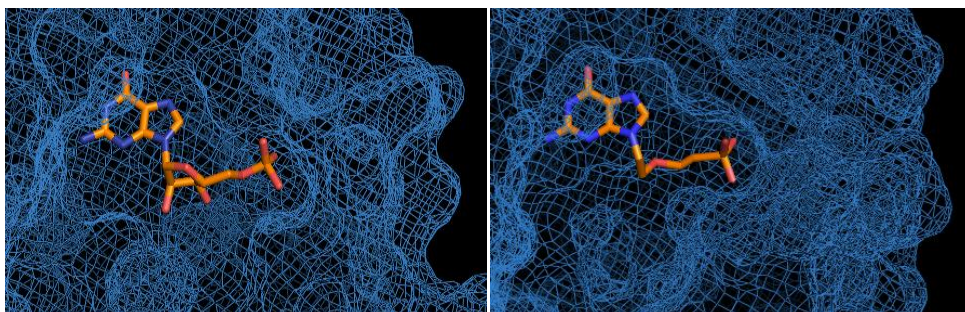


BIJLAGE 1 | De meeste malaria slachtoffers vallen in Sub-Sahara Afrika bij jonge kinderen.

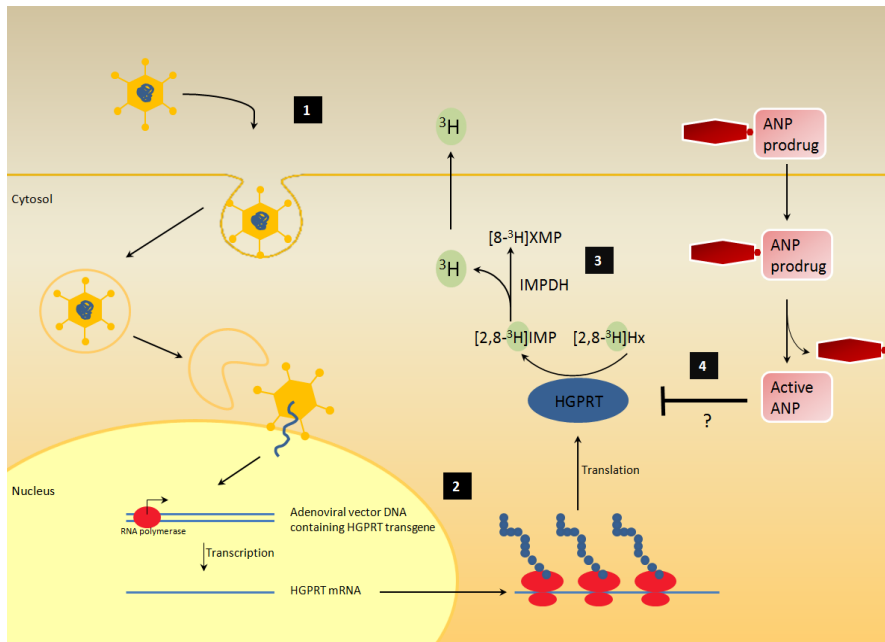


BIJLAGE 2 | Levenscyclus van de malariaparasiet.

Afbeelding van Su et al, 2007. Genetic linkage and association analyses for trait mapping in *Plasmodium falciparum*. Nat Rev Genet. 2007 Jul;8(7):497-506.



BIJLAGE 3 | 3D-modellen van het HGPRT enzym dat een natuurlijk substraat, GMP, gebonden heeft (links) of een ANP inhibitor, PEEG, een structuuranaaloo (rechts).



BIJLAGE 4 | Schema van de ontwikkelde HGPRT inhibitietest.

(1) De adenovirus vector, die het DNA bevat dat codeert voor het menselijke, *Plasmodium falciparum* of *Plasmodium vivax* HGPRT enzym infecteert een HGPRT-deficiënte cel. (2) Het DNA van de adenovirus vector komt de celkern binnen en wordt vertaald naar functioneel HGPRT enzym. (3) De bekomen HGPRT enzymactiviteit wordt gemeten door de omzetting van radioactief gelabeld hypoxanthine te meten. In de laatste stap komt radioactief tritium (³H) vrij dat uit de cel drijft en gemeten wordt met een scintillatieteller. (4) De centrale vraag van mijn project. Zijn de ontwikkelde ANP's in staat HGPRT te inhiberen in deze cellulaire omgeving?